
SISTEMAS DE CONTROL II - FCEFYN - 2025

Alumno: Ferraris Domingo

Control En Variables De Estado

Resultados

Item 1: Pendulo, Asignacion De Variables, Linearizacion

Se asignaron las variables de estado y se definio el **punto de equilibrio deseado** Mediante Octave se **linealizo el sistema entorno a el equilibrio** definido y se obtuvo el modelo lineal local Y con el modelo las matrices del sistema para el diseño del control:

```
Definir Punto Equilibrio, Linealizar Entono A: [delta 0 ue]
=====

x2_p_lin = (sym)


$$\frac{L \cdot g \cdot m \cdot (\delta - x_1) \cdot \cos(\delta) - L \cdot g \cdot m \cdot \sin(\delta) - b \cdot x_2 + u_1}{L \cdot m}$$


A = (sym 2x2 matrix)


$$\begin{bmatrix} 0 & 1 \\ \frac{-g \cdot \cos(\delta)}{L} & \frac{-b}{L \cdot m} \end{bmatrix}$$


B = (sym 2x1 matrix)


$$\begin{bmatrix} 0 \\ 1 \\ \frac{1}{L \cdot m} \end{bmatrix}$$


C = (sym) [1 0] (1x2 matrix)
D = (sym) 0
```

Item 2: Sistema Lineal, Estabilidad, Controlabilidad

Mediante Octave se verifico **estabilidad** mediante el metodo indirecto de Lyapunov y **controlabilidad** del modelo lineal

Item 3: Diseño De Controladores

Se realizo el diseño del **control por realimentacion de estados con accion integral**, por tanto se trabajo con el sistema ampliado

Se diseñaron **controladores por asignacion de polos y LQR** y se compararon las respuesta obtenidas

Los controladores LQR mostraron mejores características en las respuestas

Item 4: Robustez

Finalmente se realizo un **estudio sencillo de robustez** donde se varia la masa +/- 10% y se observan los cambios en las respuestas para cada controlador

Aqui el diseño por asignacion de polos demostro ser superior

Detalles

Item 1: Pendulo, Asignacion De Variables, Linearizacion

La idea seguida fue tomar las ecuaciones y **asignar variables de estado** mediante asignacion de fase, luego **definir el punto de equilibrio deseado** y linealizar entorno a ese punto

Para comenzar se tomo la ecuacion del pendulo y se asignaron las variables de estado mediante la asignacion de fase, para luego poder dibujar el espacio fasico facilmente

Y tambien se definieron al torque como entrada u_1 y al angulo θ como y_1 :

```
eq1 = (sym)

      2
      L · m · θpp + L · g · m · sin(θ) + b · θp = T

Variables De Estado, Asignacion De Fase
=====

x1 == theta    ->  x1_p    == theta_p    == x2
x2 == theta_p  ->  x2_p    == theta_pp (mayor orden)

Entradas / Salidas
=====

u1 == T, y1 == x1
```

Reemplazando variables, entradas, salidas y reordenando se obtuvo el **modelo dinamico del sistema**:

```
x1_p = (sym) x2
x2_p = (sym)

      -L · g · m · sin(x1) - b · x2 + u1
      -----
              2
              L · m

y1 = (sym) x1
```

El objetivo es **estabilizar el sistema en $x_1 = \delta$** , para esto se diseñara un controlador

Pero ademas como el sistema es no-lineal, se debe linealizar **entorno a algun punto de operacion**

Como el diseño del controlador se basa en el sistema linealizado, se elige como punto de operacion el equilibrio deseado $x_1 = \delta$

Cuando el sistema alcanza ese equilibrio, hace falta un torque $u_1 = u_e$ para **mantenerlo en el equilibrio deseado**

Aplicando la condicion de equilibrio al modelo dinamico:

$$u_e = (\text{sym}) \ L \cdot g \cdot m \cdot \sin(\delta)$$

Entonces el punto de operacion para linealizar:

Equilibrio:

- $[x_1, x_2, u_1] == [\delta, 0, m \ g \ L \sin(\delta)]$

.

Mediante octave se obtuvo el **modelo linealizado** y luego las matrices del sistema:

```
Definir Punto Equilibrio, Linealizar Entono A: [delta 0 ue]
=====

x2_p_lin = (sym)


$$\frac{L \cdot g \cdot m \cdot (\delta - x_1) \cdot \cos(\delta) - L \cdot g \cdot m \cdot \sin(\delta) - b \cdot x_2 + u_1}{L \cdot m}$$


A = (sym 2x2 matrix)
[ 0      1 ]
[ -g*cos(delta)  -b ]
[ ----- ]
[      L      2 ]
[                L * m ]

B = (sym 2x1 matrix)
[ 0 ]
[ 1 ]
[ ----- ]
[ 2 ]
[ L * m ]

C = (sym) [1 0] (1x2 matrix)
D = (sym) 0
```

Item 2: Sistema Lineal, Estabilidad, Controlabilidad

Con los parametros asignados se calcularon las matrices A,B,C y D del modelo:

```
Parametros Asignados:
=====
Nombre      Apellido(s) m  b  l  G  delta  p(triple)
Domingo Jesus  FERRARIS  1  0,1 1  10  90  -2

A =
      0  1.0000
 -0.0000 -0.1000

B =
      0
      1

C =
      1  0

D = 0
```

Luego se comprobo estabilidad con los autovalores de la matriz A y controlabilidad:

```
Estabilidad Por Lyapunov Indirecto ( eig(A) ), Controlabilidad ( rank(ctrb(A, B)) )
=====

ans =
      0
 -0.1000

ans = 2
```

Como un autovalor es cero no el sistema es **inestable en el punto de operacion**, pero como el rango de la matriz de controlabilidad es 2 entonces **es controlable**

Item 3: Diseño De Controladores

Para la accion de control se utilizo un **controlador con realimentacion de estados y accion integral**, por lo tanto se calculo el sistema ampliado y comprobo estabilidad y controlabilidad:

```
Estrategia: Control Por Realimentacion De Estados Con Integral Error (u == -K x + KI psi)
=====

Aa =

      0    1.0000    0
      0   -0.1000    0
     -1.0000    0    0

Ba =

      0
      1
      0

Estabilidad Por Lyapunov Indirecto ( eig(Aa) ), Controlabilidad ( rank(ctrb(Aa, Ba)) )
=====

ans =

      0
      0
     -0.1000

ans = 3
```

Dos autovalores nulos por tanto el sistema ampliado es **inestable en el punto de operacion, pero controlable**

Por Asignacion De Polos

Siguiendo la consigna se calculo el controlador por asignacion de polos, con el comando acker de Octave posicionando un **polo triple el -2**

Luego se simulo el sistema partiendo de theta = 0 para observar la respuesta y espacio de fase:

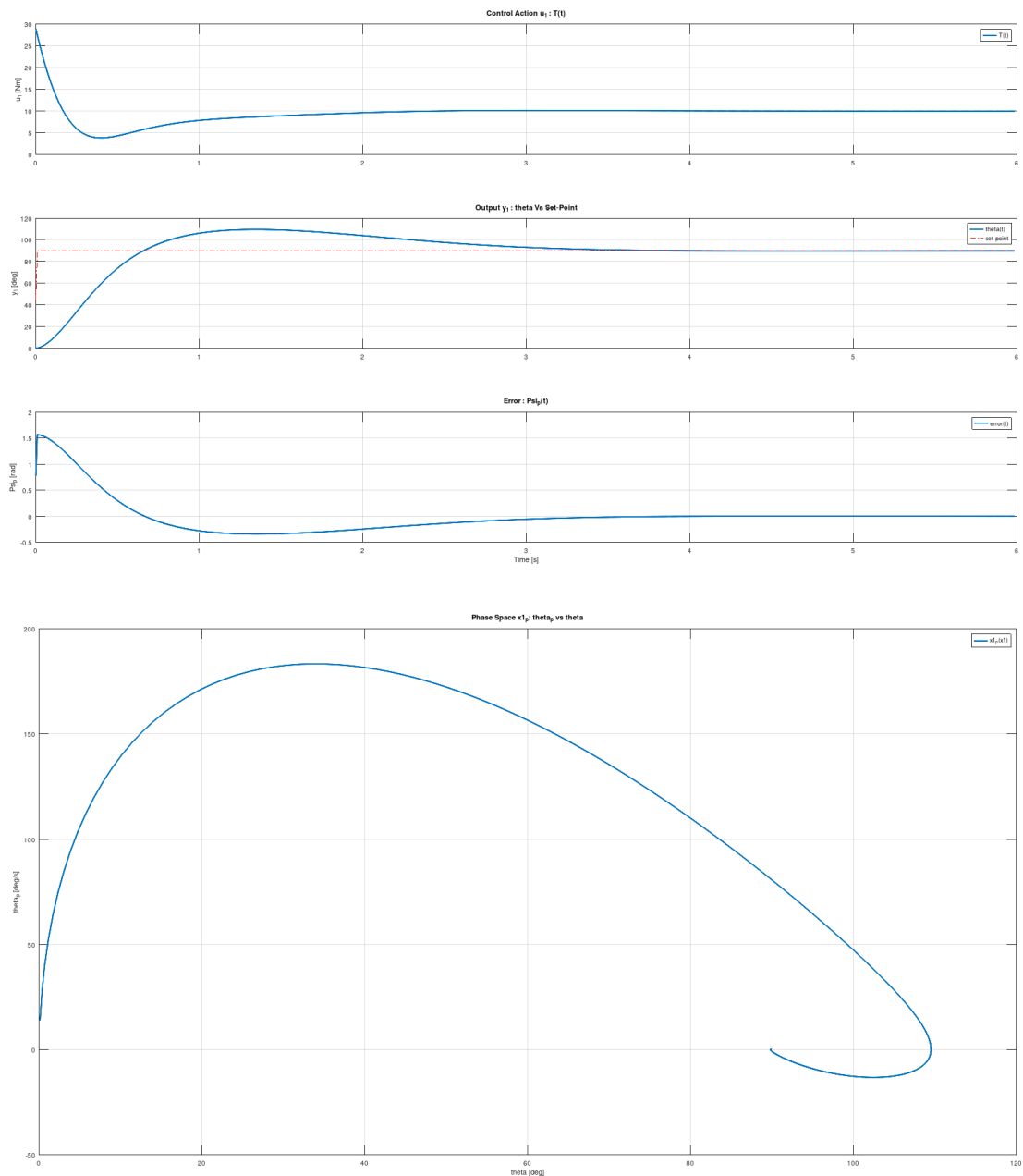
```
Ka =

      12.0000    5.9000   -8.0000

Kc =

      12.0000    5.9000

KI = 8
```



Se tomaron notas de algunos valores de interes de las respuestas para comparacion:

- $t_{ss} \sim 3.2s$
- $\theta_{max} \sim 100$ grados
- $u_{1_max} \sim 30Nm$

Por LQR

Adicionalmente se diseñaron otros controladores por LQR ajustados con distintos valores de Q y R, **trantando de mejorar las respuestas obtenidas** siempre que fuera posible:

LQR1: Penalizar fuertemente desviaciones de θ , penalizar poco accion de control

Calculo Del Del Controlador Por LQR, Polos Y Ganancias Finales

=====

Q =

Diagonal Matrix

1000	0	0
0	1	0
0	0	1

R = 10

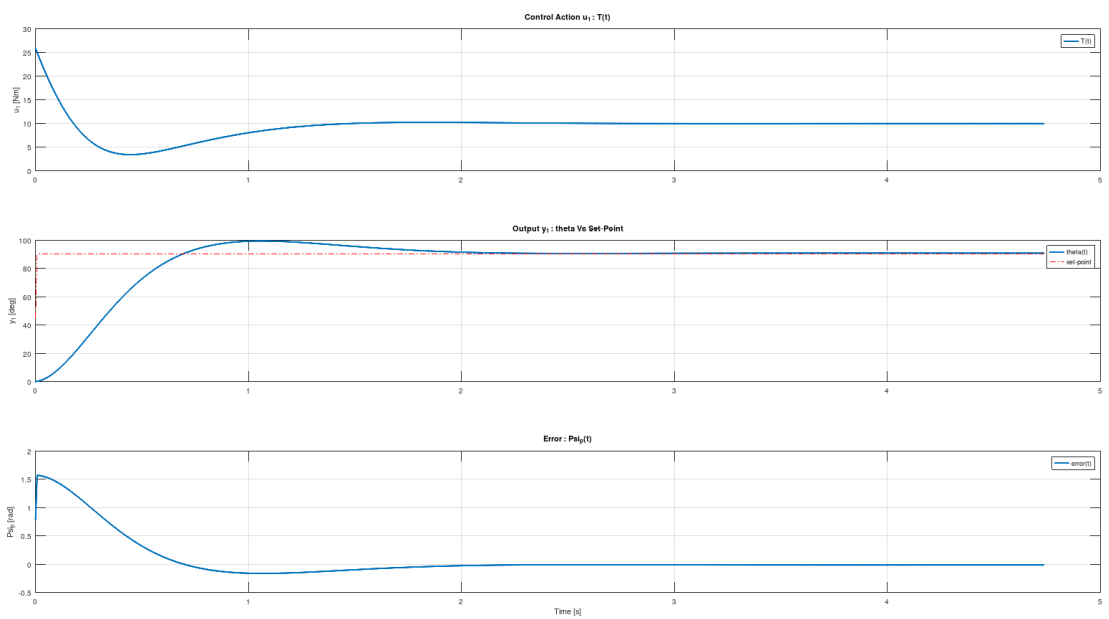
P =

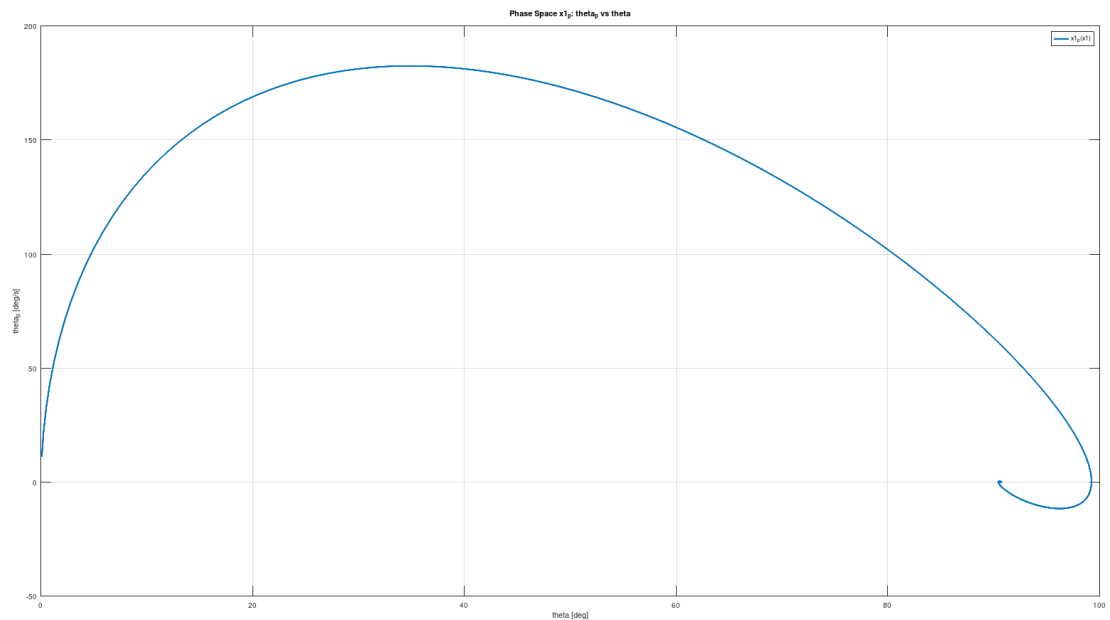
-2.2422 + 2.2300i
-2.2422 - 2.2300i
-0.0316 + 0i

Kc =

10.1418	4.4159
---------	--------

KI = 0.3162





Para este controlador se obtienen $t_{ss} \sim 1.9s$, $\theta_{max} \sim 100$ grados y $u1_{max} \sim 26Nm$, mejorando con respecto a la respuesta obtenida por asignacion de polos

LQR2: Penalizar mas a θ que a θ_p , penalizar $u1$ para ajuste

```

Calculo Del Del Controlador Por LQR, Polos Y Ganancias Finales
=====

Q =

Diagonal Matrix

    1.0000e+06         0         0
         0    5.0000e+04         0
         0         0    1.0000e+00

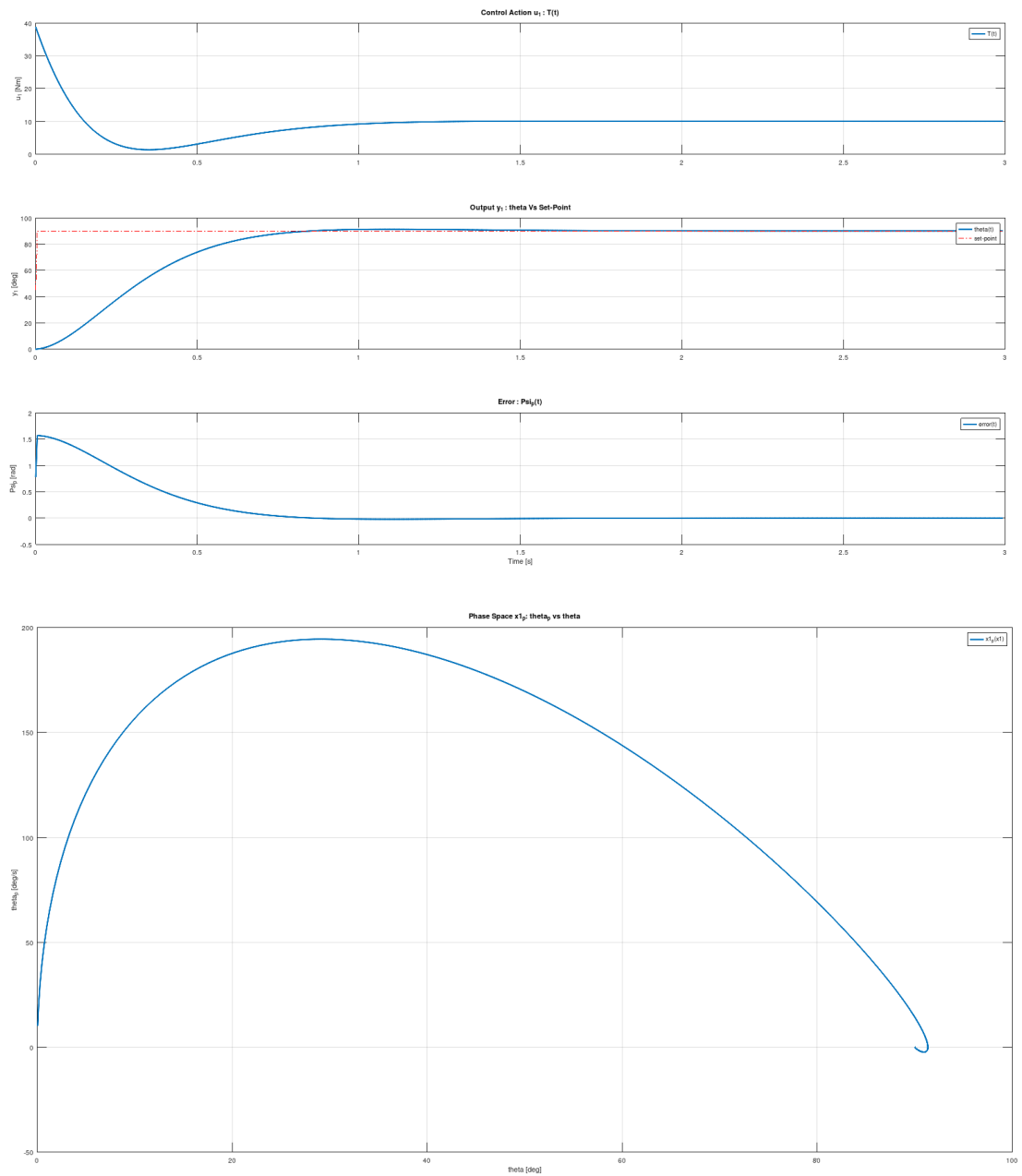
R = 3000
P =

-3.6466 + 2.2270i
-3.6466 - 2.2270i
-0.0010 +      0i

Kc =

    18.2647    7.1943

KI = 0.018257
  
```

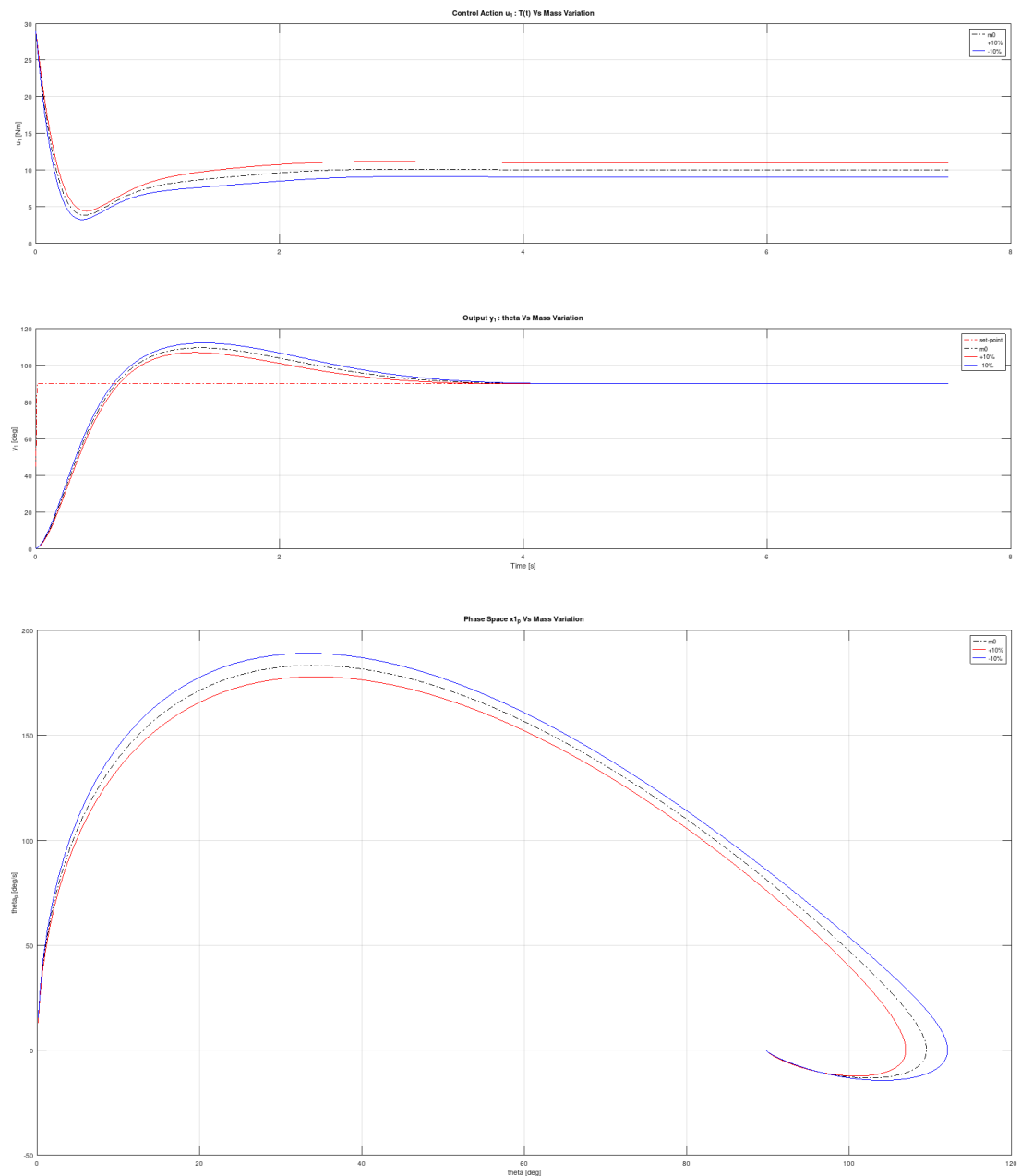


Para este controlador se obtienen $t_{ss} \sim 0.75s$, $\theta_{max} \sim 91$ grados y $u1_{max} \sim 40Nm$, mejorando rapidez y sobrepico pero aumentando accion de control con respecto a la respuesta obtenida por asignacion de polos

Item 4: Robustez

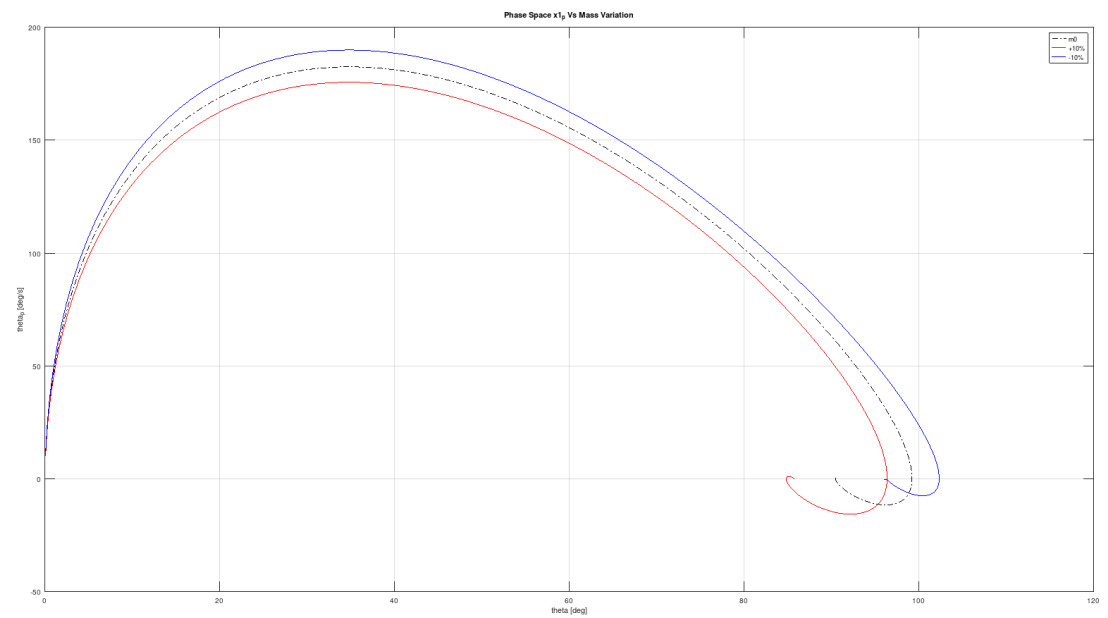
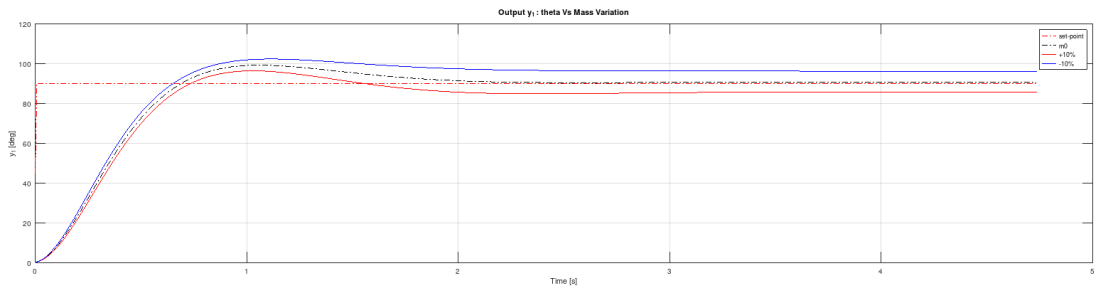
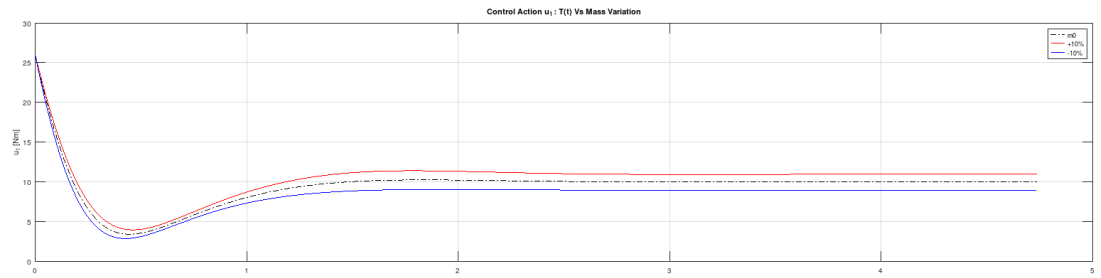
Finalmente para los controladores diseñados se hizo un estudio de robustez para ver **como afecta su desempeño variar la masa +/-10%**

Por Asignacion De Polos



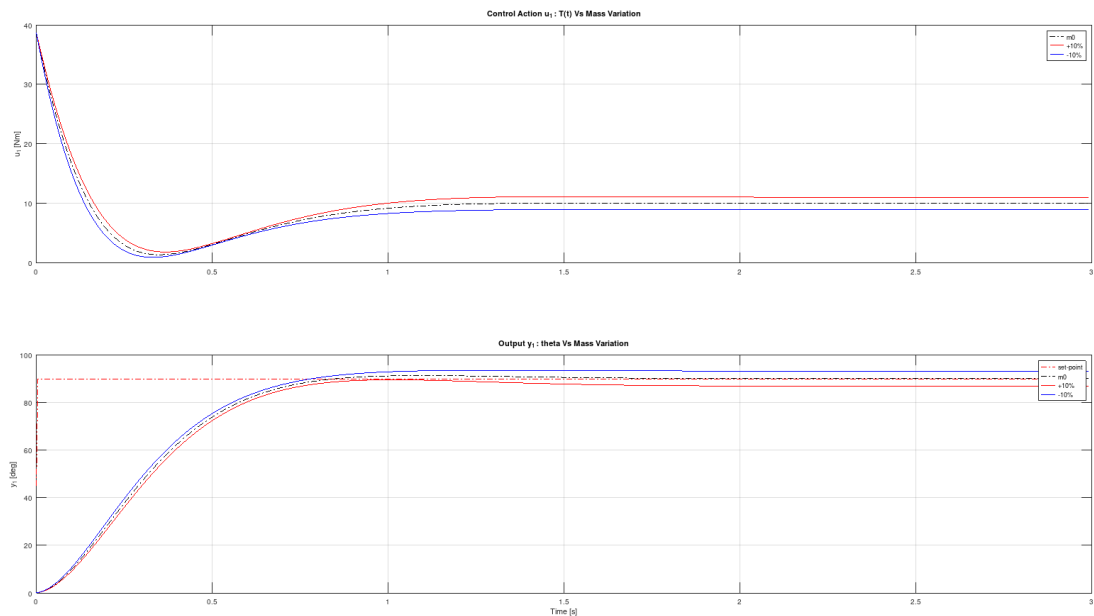
En este caso en equilibrio u_1 se mantiene entre [9-10]Nm, θ_{max} [112-107] grados, t_{ss} entre [3-3.3]s y un $ess = 0$

Por LQR1



En este caso en equilibrio u_1 se mantiene entre [9-11]Nm, θ_{\max} [102-96] grados pero eso no es nulo y se mantiene entre [96-86] grados, por lo que esta configuración es muy susceptible a la variación de la masa

Por LQR2



En este caso en equilibrio u_1 se mantiene entre [9-11]Nm, θ_{max} [94-90] grados pero nuevamente θ no es nulo y se mantiene entre [93-87] grados, por lo que esta configuración es muy susceptible a la variación de la masa

Control / [-10% - +10%]	θ_{max} [grados]	Mp [%]	u_{eq} [Nm]
Asignacion	[112 - 107]	[24 - 19]	[9 - 10]
LQR1	[102 - 96]	[13 - 6]	[9 - 11]
LQR2	[94 - 90]	[4 - 0]	[9 - 11]

En conclusion, se forzaron demasiado los controladores por LQR dando **respuestas temporales mejores pero haciendo que fallen en robustez** frente al control por asignación de polos

Por tanto si en la aplicación la variación de masa se mantiene menor al 10% es viable usar uno de los controladores LQR propuesto, caso contrario es recomendable el controlador por asignación de polos

Siempre se puede además **iterar nuevamente para ajustar los controladores por LQR** hasta obtener un balance aceptable entre la respuesta/acción obtenidas y la robustez

Fuentes/herramientas

1. Apuntes/Videos De La Materia
2. Matlab, Simulink, Chat-GPT, vscode

GitHub

1. <https://github.com/Clifferto/carrerpath/tree/control2/nationalUniversity/2025/controlSystems2>
-